

Starkniederschlagshöhen und -spenden gemäß KOSTRA-DWD-2010R

Auswertungszeitraum von 1951 - 2010, Januar - Dezember

Rasterfeld: 64022

Zeile: 64

Spalte: 22

Seite: 1/2

| Dauerstufe D | Wiederkehrzeit T | | | | | | | | | | | | | | | | | | |
|--------------|------------------|------|------------|------|------------|------|------------|------|------------|------|------------|------|------------|-------|------------|-------|------------|-------|------------|
| | 1 a | | 2 a | | 3 a | | 5 a | | 10 a | | 20 a | | 30 a | | 50 a | | 100 a | | |
| min | Std | mm | l / (s ha) | mm | l / (s ha) | mm | l / (s ha) | mm | l / (s ha) | mm | l / (s ha) | mm | l / (s ha) | mm | l / (s ha) | mm | l / (s ha) | mm | l / (s ha) |
| 5 | | 5,1 | 170,0 | 7,0 | 233,3 | 8,0 | 266,7 | 9,4 | 313,3 | 11,2 | 373,3 | 13,0 | 433,3 | 14,1 | 470,0 | 15,5 | 516,7 | 17,3 | 576,7 |
| 10 | | 8,1 | 135,0 | 10,6 | 176,7 | 12,1 | 201,7 | 14,0 | 233,3 | 16,5 | 275,0 | 19,0 | 316,7 | 20,5 | 341,7 | 22,4 | 373,3 | 24,9 | 415,0 |
| 15 | | 10,1 | 112,2 | 13,1 | 145,6 | 14,9 | 165,6 | 17,2 | 191,1 | 20,2 | 224,4 | 23,2 | 257,8 | 25,0 | 277,8 | 27,3 | 303,3 | 30,3 | 336,7 |
| 20 | | 11,5 | 95,8 | 15,0 | 125,0 | 17,0 | 141,7 | 19,6 | 163,3 | 23,0 | 191,7 | 26,5 | 220,8 | 28,5 | 237,5 | 31,1 | 259,2 | 34,6 | 288,3 |
| 30 | | 13,3 | 73,9 | 17,5 | 97,2 | 20,0 | 111,1 | 23,1 | 128,3 | 27,3 | 151,7 | 31,4 | 174,4 | 33,9 | 188,3 | 37,0 | 205,6 | 41,2 | 228,9 |
| 45 | | 14,9 | 55,2 | 20,0 | 74,1 | 22,9 | 84,8 | 26,7 | 98,9 | 31,7 | 117,4 | 36,8 | 136,3 | 39,7 | 147,0 | 43,4 | 160,7 | 48,5 | 179,6 |
| 60 | | 15,9 | 44,2 | 21,7 | 60,3 | 25,0 | 69,4 | 29,3 | 81,4 | 35,1 | 97,5 | 40,8 | 113,3 | 44,2 | 122,8 | 48,4 | 134,4 | 54,2 | 150,6 |
| 90 | | 17,7 | 32,8 | 23,6 | 43,7 | 27,1 | 50,2 | 31,5 | 58,3 | 37,4 | 69,3 | 43,3 | 80,2 | 46,8 | 86,7 | 51,2 | 94,8 | 57,1 | 105,7 |
| 120 | 2 | 19,0 | 26,4 | 25,1 | 34,9 | 28,6 | 39,7 | 33,1 | 46,0 | 39,2 | 54,4 | 45,3 | 62,9 | 48,8 | 67,8 | 53,3 | 74,0 | 59,4 | 82,5 |
| 180 | 3 | 21,1 | 19,5 | 27,4 | 25,4 | 31,0 | 28,7 | 35,6 | 33,0 | 41,9 | 38,8 | 48,2 | 44,6 | 51,8 | 48,0 | 56,4 | 52,2 | 62,7 | 58,1 |
| 240 | 4 | 22,7 | 15,8 | 29,1 | 20,2 | 32,9 | 22,8 | 37,6 | 26,1 | 44,0 | 30,6 | 50,4 | 35,0 | 54,1 | 37,6 | 58,8 | 40,8 | 65,2 | 45,3 |
| 360 | 6 | 25,2 | 11,7 | 31,8 | 14,7 | 35,7 | 16,5 | 40,6 | 18,8 | 47,1 | 21,8 | 53,7 | 24,9 | 57,6 | 26,7 | 62,5 | 28,9 | 69,0 | 31,9 |
| 540 | 9 | 28,0 | 8,6 | 34,8 | 10,7 | 38,8 | 12,0 | 43,8 | 13,5 | 50,6 | 15,6 | 57,4 | 17,7 | 61,4 | 19,0 | 66,4 | 20,5 | 73,2 | 22,6 |
| 720 | 12 | 30,2 | 7,0 | 37,1 | 8,6 | 41,2 | 9,5 | 46,3 | 10,7 | 53,3 | 12,3 | 60,2 | 13,9 | 64,3 | 14,9 | 69,4 | 16,1 | 76,3 | 17,7 |
| 1080 | 18 | 33,5 | 5,2 | 40,7 | 6,3 | 44,9 | 6,9 | 50,1 | 7,7 | 57,3 | 8,8 | 64,5 | 10,0 | 68,6 | 10,6 | 73,9 | 11,4 | 81,1 | 12,5 |
| 1440 | 24 | 36,1 | 4,2 | 43,4 | 5,0 | 47,7 | 5,5 | 53,1 | 6,1 | 60,4 | 7,0 | 67,7 | 7,8 | 72,0 | 8,3 | 77,4 | 9,0 | 84,7 | 9,8 |
| 2880 | 48 | 44,3 | 2,6 | 53,5 | 3,1 | 58,9 | 3,4 | 65,7 | 3,8 | 75,0 | 4,3 | 84,2 | 4,9 | 89,6 | 5,2 | 96,4 | 5,6 | 105,7 | 6,1 |
| 4320 | 72 | 49,9 | 1,9 | 60,3 | 2,3 | 66,3 | 2,6 | 74,0 | 2,9 | 84,4 | 3,3 | 94,7 | 3,7 | 100,8 | 3,9 | 108,4 | 4,2 | 118,8 | 4,6 |

Angaben in mm: Bemessungsniederschlagswerte h(n)

Angaben in l / (s ha): Regenspende R(n) mit $R(n) = h(n) \times 1,666667 / D[\text{min}]$

Toleranzbereiche:

+/- 10 % für $1 \text{ a} \leq T \leq 5 \text{ a}$

+/- 15 % für $5 \text{ a} < T \leq 50 \text{ a}$

+/- 20 % für $50 \text{ a} < T \leq 100 \text{ a}$

Datenbasis: KOSTRA-DWD-2010R des Deutschen Wetterdienstes. Die Regenspende wurde auf Basis des Bemessungsniederschlags zur jeweiligen Andauer berechnet.

Für die Richtigkeit und Aktualität der Angaben wird keine Gewähr übernommen. Erstellt 07/2022.

Starkniederschlagshöhen und -spenden gemäß KOSTRA-DWD-2010R

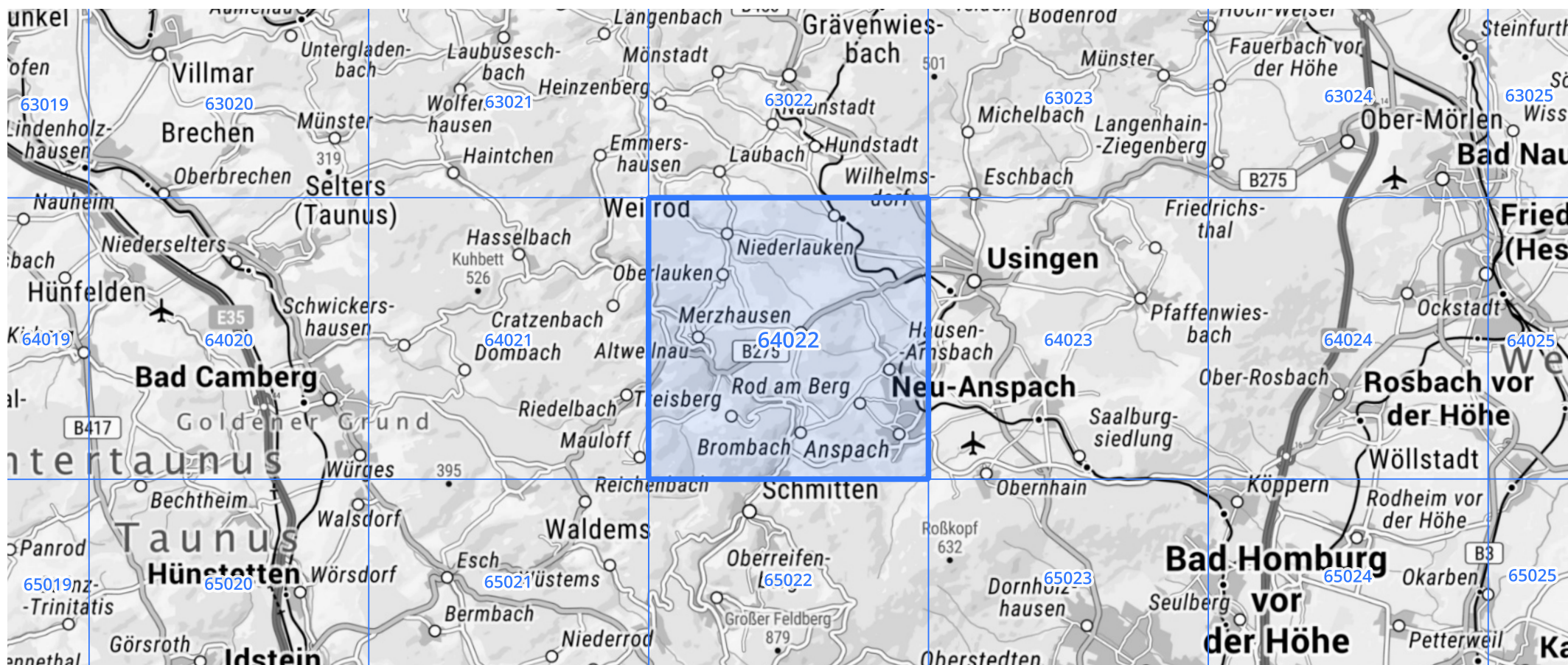
Auswertungszeitraum von 1951 - 2010, Januar - Dezember

Rasterfeld: 64022

Zeile: 64

Spalte: 22

Seite: 2/2



Quelle Rasterdaten: KOSTRA-DWD-2010R des Deutschen Wetterdienstes.

Kartendarstellung: © Bundesamt für Kartographie und Geodäsie (2022), Datenquellen: https://sgx.geodatenzentrum.de/web_public/gdz/datenquellen/Datenquellen_TopPlusOpen.html

Für die Richtigkeit und Aktualität der Angaben wird keine Gewähr übernommen. Erstellt 07/2022.